

# Fe(CO)<sub>5</sub> 双色共振增强多光子电离研究

李书涛 钱谊乐

(中国科学院安徽光学精密机械研究所一室)

刘厚祥 李昭临 韩景诚 吴存恺

(中国科学院安徽光学精密机械研究所激光光谱实验室)

## 提 要

利用超声分子束、强激光多光子电离和飞行时间质谱探测装置研究了 Fe(CO)<sub>5</sub> 分子在 355 nm、532 nm 和 355 nm+532 nm 单、双色激光作用下的多光子电离质谱。实验结果证明了双色激光的共振增强电离作用。由飞行时间质谱的展宽峰型结构估算了 Fe(CO)<sub>5</sub> 等分子的光解离寿命与 Fe<sup>+</sup> 和 Fe(CO)<sub>5</sub> 离子分子反应截面。

关键词: 飞行时间质谱, 双色多光子电离, 超声分子束。

## 一、引言

激光多光子电离法是研究多原子分子的一种重要方法<sup>[1,2]</sup>。由于过渡金属有机化合物在光催化和化学合成等<sup>[3,4]</sup>领域的重要作用, 近年来对这类化合物的光物理和光化学性质的研究受到广泛的重视。作者曾利用扩散分子束和四极质谱探测装置研究了 Fe(CO)<sub>5</sub> 分子在 308 nm 强激光作用下的多光子电离动力学过程<sup>[5]</sup>, 结果表明, 大量 Fe<sup>+</sup> 主要是由 Fe(CO)<sub>5</sub> 分子快速解离产生的 Fe 原子再经共振吸收电离过程而产生的。据报道<sup>[4]</sup>, Fe(CO)<sub>5</sub> 这类化合物的光解离速率很大, 而且过剩能量几乎都留在裸金属原子 Fe 上, 所以在不同能量光子作用下, 裸金属原子有可能处于不同的状态, 如基态  $a^5D$  或第一激发态  $a^5F$ 。此外, 由于 Fe 原子的低位能级间隔较宽, 而高位能级间隔较密, 所以第一激发态 Fe 原子易于实现共振增强多光子电离过程。本文报道利用超声分子束和飞行时间质谱探测装置对 Fe(CO)<sub>5</sub> 分子在 355 nm、532 nm 和 355 nm+532 nm 单、双色激光作用下的多光子电离研究结果。

## 二、实验装置和结果

实验装置如图 1 所示。Fe(CO)<sub>5</sub> 蒸汽与载气 (Ar) 的混合气体通过脉冲式超声分子束系统而形成超声分子束, 在反应区与聚焦的激光束垂直相交。经激光多光子电离作用而产生的离子被电场驱入无场自由飞行区, 由通道离子倍增器 (RTC56P-17-2) 探测和前置放大器 (Tektronix Am 502) 放大, 然后由瞬态记录仪 (Gould Biomation 8100) 和多道分析仪

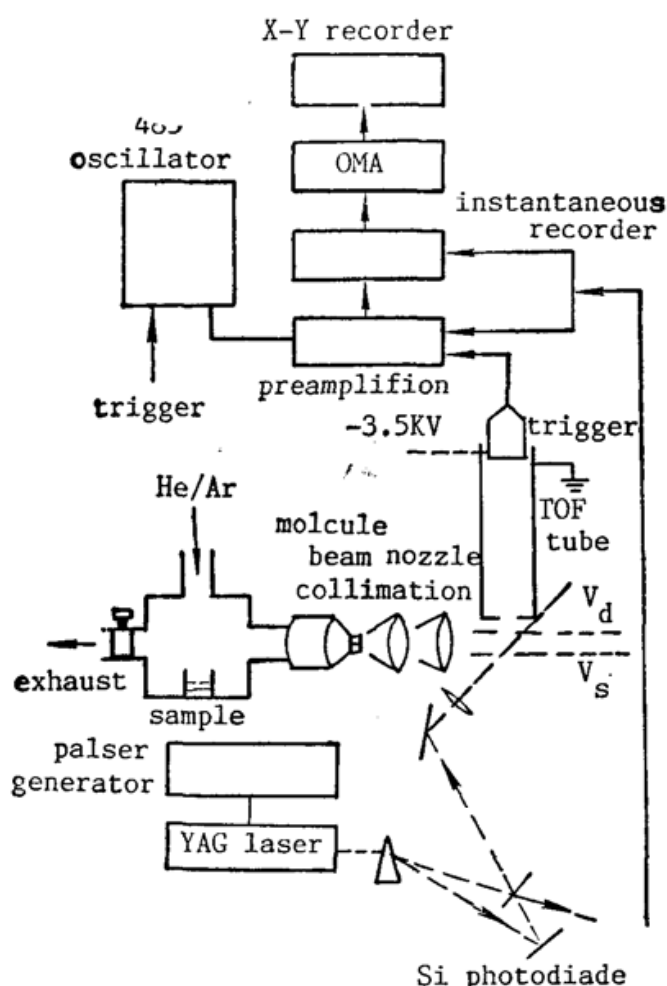


Fig. 1 Diagram of the apparatus for MPI mass spectroscopy experiment

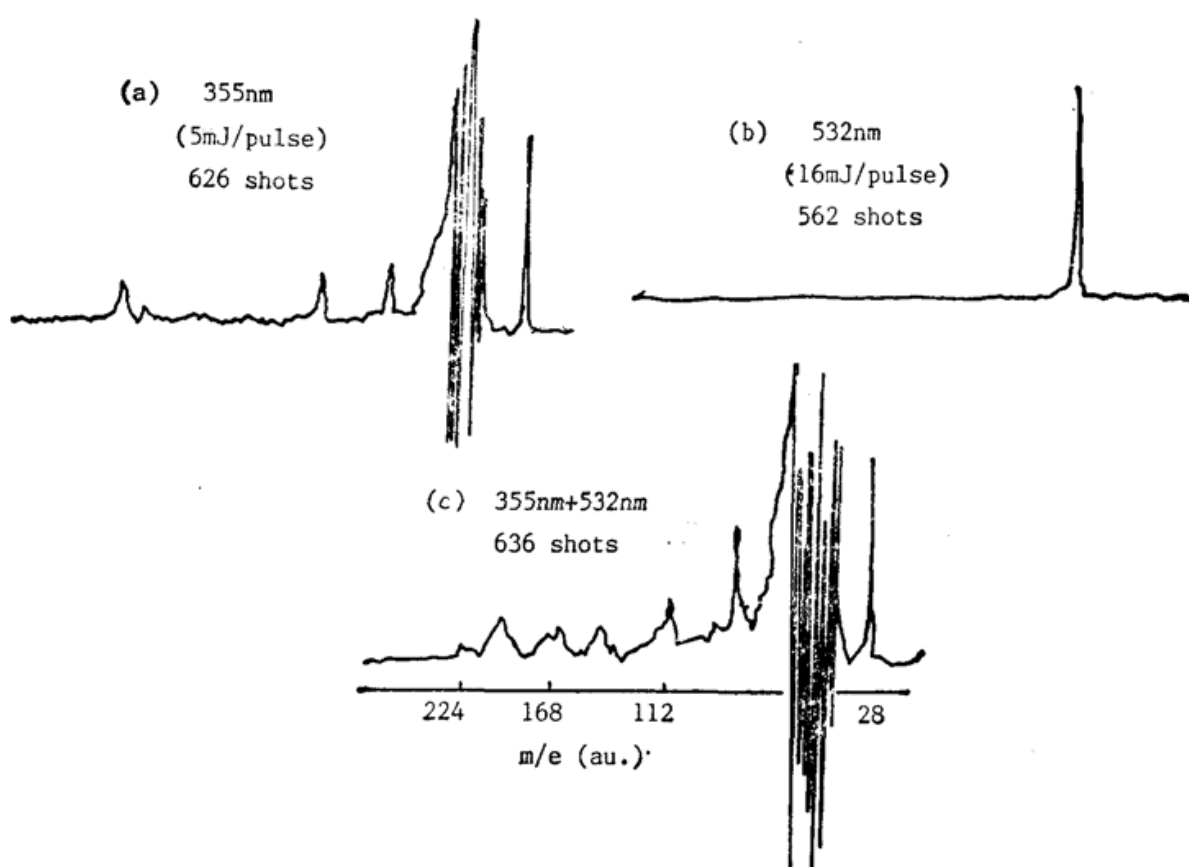


Fig. 2 TOF mass spectra of Fe(CO)<sub>5</sub> irradiated  
(a) 355 nm laser; (b) 532 nm laser; (c) 355nm + 532 nm laser

(Norland/ion-tech Model 5400) 进行处理和叠加, 最后, 送入 X-Y 记录仪绘出多光子电离质谱图。实验中激光能量为 50 mJ/pulse (532 nm) 和 10 mJ/pulse (355 nm), 焦点光强分别可达约  $10^{27}$  和  $10^{26}$  photon/cm<sup>2</sup>/sec, 激光脉宽约为 10 ns, 线宽  $< 1 \text{ \AA}$ , 重复率为 2~5 Hz, 背景真空约  $8 \times 10^{-8}$  Torr, Fe(CO)<sub>5</sub> 样品为分析纯并在实验前经液氮脱气处理。

实验中测得 Fe(CO)<sub>5</sub> 分子在 355 nm 和 532 nm 单、双色激光作用下的多光子解离和电离飞行时间质谱信号如图 2 所示。通过改变激光能量, 测量了 Fe<sup>+</sup> 信号对光强的依赖关系, 其数据点和最小二乘拟合直线如图 3 所示。直线的斜率为光强指数。在三条件下分别为  $n = 4.4$  (355 nm),  $n = 5.04$  (532 nm) 和  $n = 2.63$  (355 nm + 532 nm)。

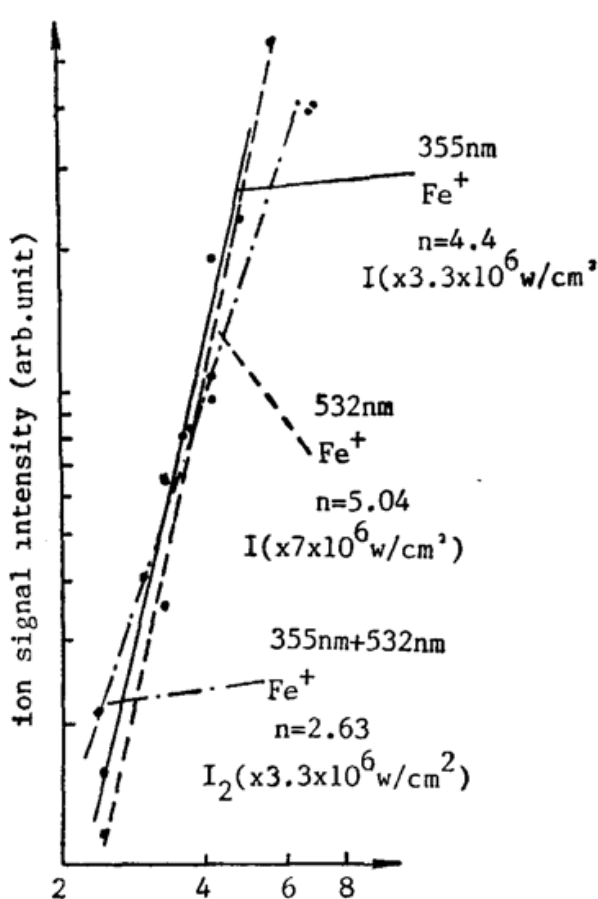


Fig. 3 Laser intensity dependence of Fe<sup>+</sup> signal

(a) 355 nm; (b) 532 nm; (c) 355 nm + 532 nm

### 三、分析与讨论

#### 1. 飞行时间质谱中离子峰质量数的标定

由飞行时间质谱仪的原理和物理规律, 导出离子飞行时间  $T$  与质量  $m$  的关系

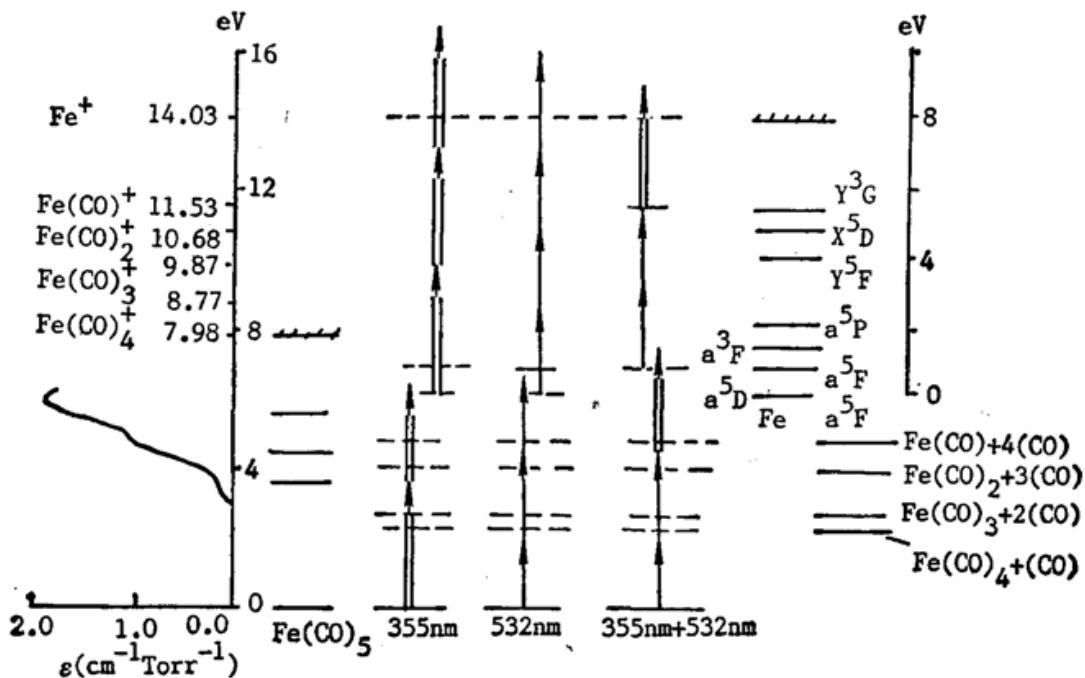
$$\left. \begin{aligned} T &= \frac{v_1 - v_0}{b} + \frac{v_2 - v_1}{c} + \frac{D}{v_2}, \\ b &= \frac{eE_s}{m}, \quad c = e \frac{E_d}{m}, \\ v_1 &= \sqrt{v_0^2 + 2bs}, \quad v_2 = \sqrt{v_1^2 + 2cd}, \end{aligned} \right\} \quad (1)$$

式中  $E_s$ 、 $E_d$  分别为飞行时间质谱仪的引出电场和加速电场 (71 V/cm, 1000 V/cm),  $s$  和  $d$  分别为引出区和加速区长度 (0.7 cm, 1.0 cm),  $e$  为单位电荷量,  $v_0$  为离子初始平动速度,  $v_1$  和  $v_2$  分别为离子进入加速区和进入无场飞行区时的初速度。

利用(1)式对各主要离子峰的质量数进行标定, 由小到大分别为 CO<sup>+</sup>、Fe<sup>+</sup>、Fe(CO)<sub>n</sub><sup>+</sup> ( $n = 1, 2, 3, 4, 5$ ) 和 Fe<sub>2</sub>(CO)<sub>4</sub><sup>+</sup>, 如图 2 所示。

#### 2. Fe(CO)<sub>5</sub> 分子光解离动力学分析

由图 2 可见, 与 355 nm 和 532 nm 单色激光作用相比, 355 nm + 532 nm 双色激光质谱中的 Fe<sup>+</sup> 信号远强于二单色激光作用的质谱中 Fe<sup>+</sup> 信号之和, 作者认为这一现象可用双色激光共振增强过程来解释: 由图 4 所示的 Fe(CO)<sub>5</sub> 多光子过程从能量角度来看, 在单色激光作用下, 光解所产生的 Fe 原子主要布居在基电子态上 ( $a^5D$ ), 这时距 355 nm 和 532 nm 波长最近的可能跃迁波长分别为 352.6 nm ( $a^5D_2 \rightarrow z^5P_3$ )、548.7 nm ( $a^5D \rightarrow a^3P$ ) 和 253.1 nm (双光子跃迁:  $(a^5D_2 \rightarrow y^7P_3)^{[8]}$ ), 波长差值均大于激光线宽 (0.1 nm), 难以实现共振吸收跃

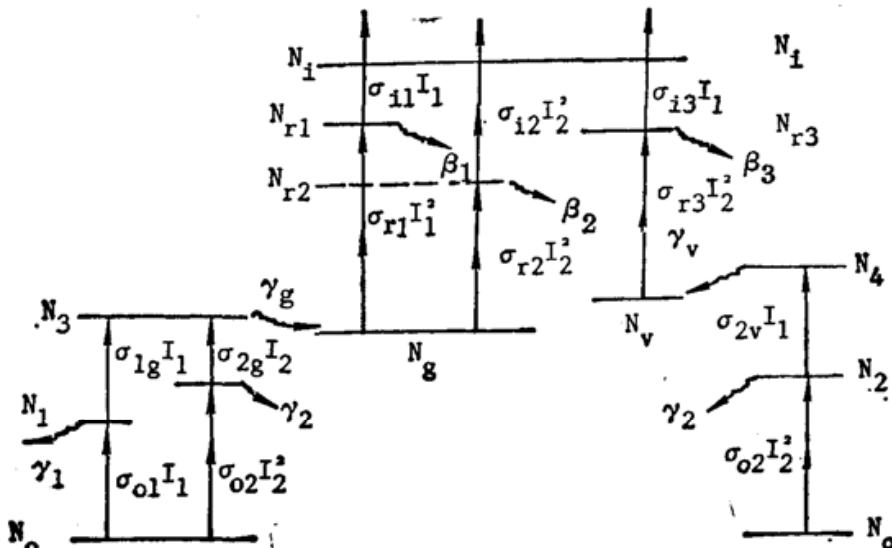
Fig. 4 Energy level diagram of Fe(CO)<sub>5</sub>

迁。另外，两个单色激光单独作用时，各自要经历三光子和四光子过程才能离化 Fe 原子，这使得 Fe 原子电离几率大大削弱；在双色激光作用时，由于 532 nm 激光强度要比 355 nm 激光高出一个数量级；且 532 nm 的双光子波长(266 nm)又对应于 Fe 原子的共振跃迁  $a^5F \rightarrow g^3G$ (266.04 nm)<sup>[8]</sup>，因此光解后产生的  $a^5F$  态布居的 Fe 原子，实现  $2 \times 532 \text{ nm} + 355 \text{ nm}$  的两步多光子过程具有较高的几率，从而使  $\text{Fe}^+$  信号大大增强。由此作者提出如图 5 所示的  $\text{Fe}(\text{CO})_5$  分子多光子解离和电离的动力学模型。

由此动力学模型可写出一组各有关能级布居的速率方程。在这里对  $N_2$  能级作了稳态近似<sup>[9]</sup>，并考虑到  $\gamma_v$  和  $\gamma_g$  极大( $\geq 10^9 \text{ sec}^{-1}$ )<sup>[7]</sup>。在 355 nm 单色激光作用下， $\text{Fe}^+$  信号强度  $N_{14}$  可表为：

$$N_{14} = \sigma_{01}\sigma_{10}\sigma_{r1}\sigma_{i1}I_1^5 N_0 \left\{ \frac{t^4}{4!} - \frac{t^5}{5!} [\sigma_{i1}I_1 + \beta_1 + \sigma_{01}I_1 + \sigma_{10}I_1 + \tau_1] \right\} \quad (2)$$

在 532 nm 激光作用下， $\text{Fe}^+$  信号强度可表为：

Fig. 5 Dynamic model of MPIP process for  $\text{Fe}(\text{CO})_5$

$$N_{2i} = \frac{\sigma_{02}\sigma_{2g}\sigma_{2i}I_2^5N_0}{\sigma_{2g}I_2+r_2} \left\{ \frac{t^3}{3!} \sigma_{r2}I_2^2 - \frac{4^4}{4!} [(\sigma_{i2}I_2^2+\beta_2)^2 + (\sigma_{r2}I_2^2)^2 + \sigma_{r2}I_2^2(\sigma_{i2}I_2^2+\beta_2)] \right\}, \quad (3)$$

在 355 nm + 532 nm 双色激光作用时, 由新通道产生的 Fe<sup>+</sup> 信号强度  $N_{3i}$  可表为

$$N_{3i} = \frac{2\sigma_{02}\sigma_{2r}\sigma_{i3}\sigma_{i3}I_2^4I_1^2N_0}{\sigma_{2g}I_2+\sigma_{2r}I_1+r_2} \left\{ \frac{t^3}{3!} - \frac{t^4}{4!} (\sigma_{01}I_1+r_0) + \dots \right\}. \quad (4)$$

式中  $t$  为激光脉冲宽度,  $N_0$  为基态 Fe(CO)<sub>5</sub> 数密度;  $N_1$  和  $N_2$  分别为 Fe(CO)<sub>5</sub> 低位激发态布居数密度;  $N_3$  和  $N_4$  为相应的 Fe(CO)<sub>5</sub> 激发态布居数密度;  $N_0$ 、 $N_1$  和  $N_i$  分别为 Fe 原子基态、中间态和离化态布居数密度;  $\sigma_{ri}$  等为图示相应单光子或双光子跃迁截面;  $\gamma_i$  和  $\beta_i$  分别为相应能级的总弛豫速率;  $I_1$  和  $I_2$  分别为 355 nm 和 532 nm 激光强度, 因此, 双色激光对 Fe(CO)<sub>5</sub> 作用的多光子电离过程应为图 5 所示的三个主要过程的叠加, 即总的 Fe<sup>+</sup> 信号强度可近似地表为(2)、(3)、(4)三式的总和。

### 3. 与实验结果的比较

由(2)式可得,  $N_{1i} \propto I_1^5$ , (2)式中括号里第二项将稍稍降低 Fe<sup>+</sup> 信号的光强指数, 使之介于 4 和 5 之间。在(3)式中, 因  $I_2$  很强, 单光子吸收速率  $\sigma I_2 \geq 10^9 \text{ sec}^{-1}$  (取典型值  $\sigma \sim 10^{-18} \text{ cm}^2$ <sup>[2]</sup>); 对于 Fe 原子高激发态取典型振子强度值  $f \approx 0.1$ <sup>[4]</sup>, 由公式  $f = 1.5 \beta \lambda^2 S_n / S_m$ <sup>[10]</sup>, 估计  $\beta \leq 10^8 \text{ sec}^{-1}$ , 因此(3)式给出:  $N_{2i} = I_2^6 [1 - O(\sigma I_2^2)]$ , 即光强指数介于 4 与 6 之间。以上讨论与本文实验中测得的光强指数 (355 nm,  $n = 4.4$ ; 532 nm,  $n = 5.04$ ) 定性符合。

对双色激光作用的情况, 保持 532 nm 激光强度不变, 即(3)式近似为常数, 只改变 355 nm 激光强度, 则 Fe<sup>+</sup> 信号强度对于  $I_1$  的依赖关系主要由(2)式和(4)式来确定。取典型值<sup>[2]</sup>: 双光子吸收截面  $\sim 10^{-49} \text{ cm}^4 \cdot \text{s}$ , 单光子吸收截面  $\sim 10^{19} \text{ cm}^2$ , 共振双光子吸收截面  $\sim 10^{-48} \text{ cm}^4 \cdot \text{s}$ ; 则  $N_{3i}$  约比  $N_{1i}$  高一个数量级。这对 Fe<sup>+</sup> 信号对  $I_1$  的依赖关系主要由  $N_{3i}$  支配。这表明, 双色激光协同共振增强多光子电离通道占有优势, 使得 355 nm 激光的光强指数降低, 这一分析与本文的实验结果  $n = 2.63$  基本符合。

### 4. 飞行时间质谱结构分析

飞行时间质谱的峰型取决于离子渡越无场飞行区的飞行时间, 它包含有离子形成的动力学过程信息, 特别是离子峰的非对称型加宽, 反映离子来自不同的形成通道。通常认为离子峰加宽的因素有: (a) 在加速场提取离子信号的时间内, 发生离子解体或组合从而形成新离子如亚稳离子解离<sup>[11]</sup>和多体过程形成新离子<sup>[12]</sup>; (b) 离子具有较高的初始平动能分布; (c) 离子在不同空间位置上形成。

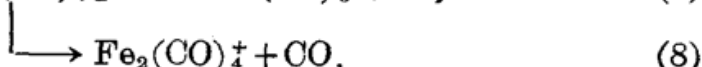
根据本实验条件, 将(1)式对电离区位置  $s$  求导数, 得到空间发散效应加宽为

$$\Delta T_s = \frac{\partial T}{\partial S} \Delta S = \left( \frac{1}{v_1} - \frac{b}{c} \frac{v_2 - v_1}{v_1 v_2} - \frac{Db}{v_2^3} \right) \Delta S. \quad (5)$$

实验的聚焦激光束线度  $\Delta S$  约为 1 mm, 由此而造成的离子峰加宽不超过  $0.6 \times 10^{-3} \mu\text{s}$ , 故可忽略。同样, 在本实验条件下, 各离子信号出现的时间范围为  $8 \sim 25 \mu\text{s}$ 。由(1)式可估计, 至少要相当于 40 eV 的初始平动能才能产生约  $1 \mu\text{s}$  数量级的离子峰加宽。因此, 可以认为, 在本文的实验条件下, 离子峰型的加宽主要受因素(a)的影响。

根据对 Fe(CO)<sub>5</sub> 在 308 nm 激光作用下的多光子电离质谱研究表明<sup>[5]</sup>: Fe(CO)<sub>5</sub> 首先吸收光子迅速光解成为 Fe 原子、Fe 原子再经多光子电离过程形成 Fe<sup>+</sup>。分子离子则主要

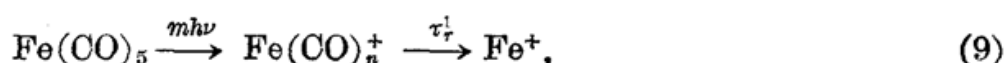
来自  $\text{Fe}^+$  与  $\text{Fe}(\text{CO})_5$  离子分子反应通道



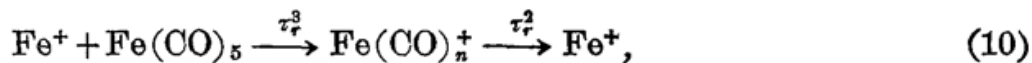
本实验通过对飞行时间质谱的离子峰型加宽和非对称性的观察可得出一致的结论。

由图2可看到，在355 nm 激光作用的质谱中  $\text{Fe}_2(\text{CO})_4^+$  信号较强；而在355 nm + 532 nm 双色激光作用的质谱中， $\text{Fe}(\text{CO})_4^+$  信号较弱，而  $\text{Fe}(\text{CO})_{5,4,3}^+$  信号较强。由图4的能量分析，在355 nm 单色激光作用时， $\text{Fe}^+$  的过剩能量( $5h\nu - \text{Fe}^+$  表观势能)较 355 nm + 532 nm 双色激光作用情况高约 1.2 eV。因此可以推断(8)式反应的势能面较之(7)式反应的势能面应有较高的位垒，这样可合理解释本实验结果。

在图 2 中还可看到, 离子峰呈现一些多峰结构, 如: 分子离子峰由两部分组成,  $\text{Fe}^+$  信号则包括三部分等。这表明各离子信号的来源不同。以  $\text{Fe}^+$  为例,  $\text{Fe}^+$  峰的三部分分别为锐峰和高质量端的两个肩峰; 锐峰显然是  $\text{Fe}$  原子多光子电离的产物, 产生  $\text{Fe}^+$  的其它过程有,  $\text{Fe}(\text{OO})_5$  及其它中性碎片直接光电离产物的进一步解离。



和离子分子反应产物的进一步解离



式中  $\tau_r^1$  为相应反应过程的寿命。可以认为  $\tau_r^1 \approx \tau_r^2$ ，则经(9)式和(10)式两个通道生成的  $\text{Fe}^+$  相差一反应时间  $\tau_r^3$ 。利用(6)式和实验测得的两个子峰间隔  $0.47 \mu\text{s}$  ( $(m/e) = 196$ )，计算出  $\tau_r^3 \approx 0.37 \mu\text{s}$ 。这与文献[11]所估计的数量级是符合的。根据图 2 中锐峰的位置和上述分析，作者认为离子峰的高质量端(飞行时间长的部分)部分是离子分子反应通道的产物，另一部分则为分子直接光电离通道的产物。

尖锐的  $\text{CO}^+$  信号表明,  $\text{CO}^+$  由单分子过程直接光电离产生。其动力学过程分析见文献 [5]。

#### 4. $\text{Fe}(\text{CO})_5$ 光激发态寿命和离子分子反应截面的估计

利用速率方程近似，分子激发态  $|i\rangle$  的消布居速率为

$$-\frac{dN_i}{dt} = (\sigma_i I + k_i) N_i, \quad (11)$$

式中  $k_i$  和  $\sigma_i$  分别为  $|i\rangle$  态光解离速率和光电离截面,  $N_i$  为  $|i\rangle$  态布居数密度。设  $Y_i^+$  和  $D_i^+$  分别表示  $|i\rangle$  态分子直接光电离产额和光解离产额, 则比值

$$R_i = Y_i^+ / D_i^+ = \sigma_i I / k_{i\circ} \quad (12)$$

取实验测得的经离子分子反应通道的各部分宽离子峰产额之和为  $Y_i^+$ ,  $\text{Fe}^+$  信号锐峰产额为  $D_i^+$ , 由(12)式估算出  $\text{Fe}(\text{CO})_5$  光解离寿命 ( $\tau_i = 1/k_i$ ) 的数量级。又设  $\text{Fe}(\text{CO})_n^+$  锐峰产额与  $\text{Fe}^+$  低质量端肩峰产额之和为  $Y_i^+$ ,  $\text{Fe}^+$  锐峰产额为  $D_i^+$ , 可估计出  $\text{Fe}(\text{CO})$  的光解离寿命。实验测得的各离子峰各部分的相对产额列于表 1; 估算的  $\text{Fe}(\text{CO})_5$  等分子解离寿命列于表 2; 它与文献[7]的计算结果基本符合。

取各离子信号高质量端宽峰产额之和与  $\text{Fe}^+$  锐峰产额之比作为离子分子反应的单  $\text{Fe}^+$  离子的反应几率, 其实验测量值为 0.061。由公式<sup>[13]</sup>

Table 1 Ralative Yield of Each Fragment Ions With 355 nm Laser

	Fe(CO) <sub>5</sub> <sup>+</sup>	Fe(CO) <sub>4</sub> <sup>+</sup>	Fe(CO) <sub>3</sub> <sup>+</sup>	Fe(CO) <sub>2</sub> <sup>+</sup>	Fe(CO) <sup>+</sup>	Fe <sup>+</sup>
High Mass Terminal	3.0	1.5	1.0	3.5	4.5	39.0
Low Mass Terminal	1.0	2.5	3.0	9.0	10.5	140.0
Sharp Peak of Fe <sup>+</sup>						1302.6

\* The data in this table come from the area of ion peak. The data at high terminal come from ion peak area of ion-molecule reaction channel; and the data at low mass terminal come from the ion peak area of neutral-fragment ionization/dissociation channel.

Table 2 The lifetime of Fe(CO)<sub>5</sub> and Fe(CO) dissociation at photon excited state (355 nm)

	I(photons/cm <sup>2</sup> /s)	$\sigma_i(\text{cm}^2)$	R <sub>i</sub>	$\gamma_i(\text{sec.})^{[b]}$	$\gamma_i(\text{sec.})^{[7]}$
Fe(CO) <sub>5</sub>	$1.2 \times 10^{27}$	$6.0 \times 10^{-19}[14]$	0.122	$1.6 \times 10^{-10}$	$1.0 \times 10^{-10}$
Fe(CO)	$1.2 \times 10^{27}$	$1.0 \times 10^{-18}[a]$	0.116	$0.96 \times 10^{-10}$	

\*  $\sigma_i$  value come from the transition cross section from molecular ground state to ionic state.

[a] The tipical value of single-photon ionization cross section.

[b] Our estimated value.

$$P_i = \frac{P}{N_i} = N_n \frac{\sigma}{\pi e} \sqrt{\frac{E}{2\alpha}}. \quad (13)$$

估算出 Fe<sup>+</sup> 与 Fe(CO)<sub>5</sub> 的离子分子反应截面  $\sigma \approx 1.08 \times 10^{-16} \text{ cm}^2$ , 其中各量取值为: 碰撞前体系的相对平动能 E 取典型值 0.5 eV ~ 10<sup>5</sup> cm·sec<sup>-1</sup>; 中性分子极化率  $\alpha$  取典型值  $4 \times 10^{-25} \text{ cm}^3$ ; 分子束中 Fe(CO)<sub>5</sub> 分子数密度  $N_n \sim 10^{14} \text{ cm}^{-3}$ ; N<sub>i</sub> 为 Fe<sup>+</sup> 离子数密度。

作者感谢陈俊德、郑海洋、纪玉峰和王进进等同志对实验工作的大力帮助。

### 参 考 文 献

- [1] D. A. Gobelt, J. J. Yang *et al.*; *Chem. Rev.*, 1985, **85**, No. 6(Jun), 529~554.
- [2] D. H. Parker; *«Ultrasensitive Laser Spectroscopy*, Ed. by D. S. Kliger», (Academic Press., New York., 1983), 233~238.
- [3] J. P. Collman, L. S. Hegedus; *«Principle & Applications of Organotransition Metal Chemistry»*, (Unive. Sci. Books, Millvalley CA, 1980).
- [4] R. L. Whetten, K. J. Fu *et al.*; *J. Amer. Chem. Soc.*, 1982, **104**, No. 15 (Aug), 4270~4272.  
R. L. Whetten, K. J. Fu. *et al.*; *J. Chem. Phys.*, 1983, **79**, No. 10 (Oct), 4999~4911.
- [5] 李书涛等;《化学物理学报》,1988, 1, No. 2 (Feb), 101~109。
- [6] Z. Karny, R. Naaman *et al.*; *Chem. Phys. Lett.*, 1978, **59**, No. 11 (Jan), 33~37.
- [7] J. T. Yardley *et al.*; *J. Chem. Phys.*, 1981, **74**, No. 1 (Jan), 370~378.
- [8] W. W. Harrison, D. M. Rider *et al.*; *Int. J. Mass Spectros. & Ion Proc.*, 1985, **65**, 59.
- [9] D. H. Parker *et al.*; *«Advances in Laser Chemistry*, Ed. by A. H. Zewil», (Academic Press, New York., 1978), 320.
- [10] 冈田秀雄;《小分子光化学》, (吉林人民出版社,长春,1982), 26。
- [11] J. L. Durant *et al.*; *J. Chem. Phys.*, 1984, **80**, No. 5 (May), 1817~1831.
- [12] D. A. Lichtin, R. B. Bernstein *et al.*; *J. Amer. Chem. Soc.*, 1982, **104**, No. 7 (Apr), 1830~1834.
- [13] P. Ausloos; *«Kinetics of Ion Molecule Reaction»*, (Plenum Press, New York & London, 1978), 65.
- [14] D. V. Horak, J. S. Winn *et al.*; *J. Phys. Chem.*, 1983, **87**, No. 2 (Feb), 265~269.

## Resonance enhanced multiphoton ionization induced by two-color-lasers in Fe(CO)<sub>5</sub>

LI SHUTAO AND QIAN YILU

*(No. 1 Department, Anhui Institute of Optics & Fine Mechanics, Academia Sinica, Hefei)*

LIU HOUXIANG, LI ZHAOLIN, HAN JINGCHENG AND WU CHUNKAI

*(Laboratory of Laser Spectroscopy, Anhui Institute of Optics & Fine Mechanics,  
Academia Sinica, Hefei)*

(Received 17 October 1988; revised 17 November 1989)

### Abstract

Laser multiphoton ionization mass spectra of Fe(CO)<sub>5</sub> were studied at 355 nm, 532 nm and 355 nm+532 nm, with a supersonic molecular beam and a time-of-flight mass spectrometer. Our experimental results show the resonance enhancement in the two-color laser multiphoton ionization of Fe(CO)<sub>5</sub>. We have estimated the cross-section and the lifetime of ion-molecule reaction between Fe<sup>+</sup> and Fe(CO)<sub>5</sub>, and the dissociation lifetimes of photo-excited Fe(CO)<sub>5</sub> and Fe(CO) by examining the broadening and structure of ion peaks in the time-of-flight mass spectra.

**Key words:** time-of-flight mass spectra; two-color multiphoton ionization; supersonic molecular beam.

## 我国第一台微微秒自动调谐参量激光器

由中国科学院上海光学精密机械研究所研制成功用锁模 Nd:YAG 激光单脉冲的二次谐波(0.532 μm)泵浦的微微秒自动调谐参量激光器,已于1990年4月2日由中国科学院组织的专家鉴定通过。

该系统采用 Mg:LiNbO<sub>3</sub>作为产生参量效应的非线性晶体,它既具有 LiNbO<sub>3</sub>晶体的较大非线性系数、不潮解、价格低廉等优点,又克服了室温下 LiNbO<sub>3</sub>晶体于相位匹配时,在兼并点附近出现一段空缺和功率破坏阈值低的缺点。

该激光器采用一对 Mg:LiNbO<sub>3</sub>晶体,便可在0.7~2.2 μm宽波段内进行调谐;重复频率为1、2、5、10 pps;脉冲宽度<30 ps,峰值功率为0.1~1 MW;光谱宽度<2 nm(兼并点附近4 nm左右),波长自动控制精度优于1.5 nm。它是我国第一台微微秒自动调谐参量激光器,是宽波段波长扫描红外超短脉冲光源。

(乙 民供稿)